

## 環状物体まわりの波高分布について

愛媛大学工学部 正員 中村 孝幸  
愛媛大学大学院 学生員。谷 浩明

1. まえがき：既に著者らは、軸対称グリーン関数を用いた解析法により、任意な軸対称物体まわりの波高分布並びに波压分布の算定法を明らかにし、直円柱及び半潜水円柱を対称として従来の算定結果との比較の上で本解析法の妥当性を検証してきた。さらに本解析法を内部に十分な利用空間を有する環状物体に適用し、その回折波並びに散波問題に関する堤体まわりの波高分布及び波力分布の算定結果を報告してきた。これに引き続き、本研究は固定された環状物体まわりの波高分布の測定実験を行ひ、環状物体による波浪の静穏化の実態について明らかにする。そして実験結果と本解析法による算定結果との比較の上で、解析法の環状物体への適用性について検証したものである。

2. 実験方法：本実験は図1に示す平面水槽を用いて行ったもので、水槽端部よりの反射波の影響を少なくするために水槽の周辺に消波のための砕石を設置した。そして模型物体としては回折波の対称性を考慮し、図2に示すような塙ビ製の内径46.0cm、外径50.6cm、高さ30.0cmの半環状物体をL字型の片持架により水槽の側面壁に固定した。波高測定は入射波の測定のための一点並びに堤体内外の波高分布を測定するための図2に示す28点において行った。実験条件としては水深hを35cmと一定にし、周期Tは0.6, 0.8, 1.0, 1.4, 2.0 SECの5種類、入射波高Hは周期が1.4 SEC以下で4cm、周期2.0 SECの時のみを3.2 cmとしている。さらに堤内の波高分布と堤体の断面形状の関係を知るために、水dと17.0cmと10.0cmの2種類に変化させて測定を行った。

3. 実験結果とその考察：(1)実験結果と算定結果の比較：図3-(A)より(D/L)は周期に関する無次元量 D/L (D: 堤体の内径の2倍, L: 入射波長) をパラメータとして 堤体まわりの波高を入射波高で無次元化した波高比の角度座標θ(図2参照)による変化について示すもので、(A)から(D)へと無次元動径座標(r/(D/2))が変化させてある。なおこれらの図において、水比d/hは0.49となる。図3-(A) 堤体内の波高比: Kd と堤体内波高を示す図3-(B)、(C)において算定結果は多少の相違は見らるるものであり並びにθによる実験値の変動をほぼ説明していることがわかる。そして解析結果で認められたように、上記の環状物体では遮蔽効果をもつ D/L の範囲は0.94までと限らぬことあり、D/Lが小さくなるにつれて重複波波形に近くなり D/L = 0.39 の値を極値として逆に増やす傾向があることが認められる。また堤体外壁近くの波高分布を示す図3-(C)より最大逆上高を示すθは D/L が0.6 以上の場合は入射波側(150°~180°)にありしきもそこでの波高は完全重複波に近いことがわかる。またこの最大逆上高は D/L の減少に伴い減少していく。一方最小逆上高を示すθは D/L の減少につれて増加し ほぼ90°に近づく。さらに図3-(B) 堤体内壁近くの波高比

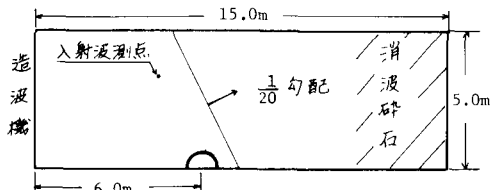


図1 平面水槽

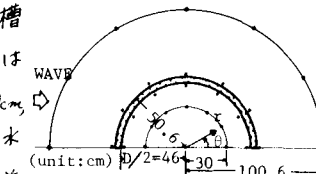
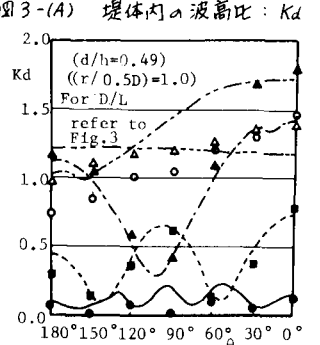
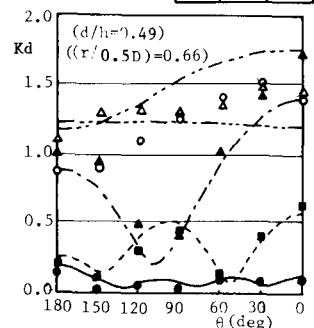


図2 波高測定点

D/L	CAL	EXP
1.53	—	●
0.94	----	■
0.61	---	▲
0.39	----	○
0.25	----	△



$D/L = 0.25$  の場合は常にかかわらず堤体外壁まわりの波高はほぼ一様に変動していることがわかる。そして堤体中心よりほぼ離れた測点においては 図3-(D)で示すように実験値と算定結果との相違は他の測点に比べて小さく、空間的な波高変動特性もよく一致している。次に堤体のさき水比  $d/h = 0.29$  と深くした場合の堤内の波高についての実験結果と算定結果との比較を図3と同様に示すのが図4 図3-(C) 堤体外壁近くの波高比である。この图と図3-(A)との比較から、さき水とほぼ半分にすると遮蔽される入射波の周期の範囲は小さくなるが、逆に堤体内での波高の増大率は小さくなることなどがわかる。

(ii) 環状物体まわりの波高分布：固定された環状物体まわりの波高分布の全体的な傾向を表すために 図5は図中に示す2種類の環状物体について  $D/L = 1.18$  の条件下での算定結果をセンターで表すものである。こより堤体において最小の波高を示すのは 入射波に対する堤体中心線より内壁のほぼ半分離れた線上にあり、堤体中心と内壁に向って波高が増大するなど双方よく似た傾向を示している。また堤体の入射波側に重複波が形成されおり、さき水へ深くさがる波高変化の大きくなっていることがわかる。そして堤体後方の波高はさき水の深い方が多少高くなることがあることが認められる。なお、本報告では環状物体の堤体幅と堤体内の波高の関係については割愛しているが堤体幅を厚くするとそのだけ遮蔽される入射波の周期の範囲は大きくなるが、逆に増大時の波高は大きくなることなどが算定結果より判明している。

4. 結語：以上の検討結果、固定された環状物体内の波高分布は堤体内径と入射波長との比に依存し、入射波長が堤体内径より小さな場合遮蔽効果が認めらるるものの大くなると逆に堤体内波高は増大する場合もあることが実験的に確認された。そしてこの遮蔽効果並に増大効果は環状物体の断面形状にも関係することが明らかとなつた。また上記のような環状物体による波浪変形の特性は本解析法を用いてほぼ予測することができ、軸対称ブリーン関数に基づく解析法が環状物体にも適用で用い得ることが明らかとなる。最後に本実験は大阪大学工学部土木工学科の平面水槽を用いて行つたもので水槽を含む実験装置の使用を心よく承知して下さり、大阪大学工学部の橋本章教授に深甚の謝意を表する。

[参考文献] 川中村孝幸、谷浩明：山形分布法による環状物体まわりの波高と波压分布の算定法、土木学会第2次技術講習会講義集、1982年10月

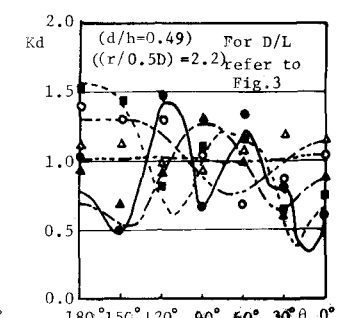
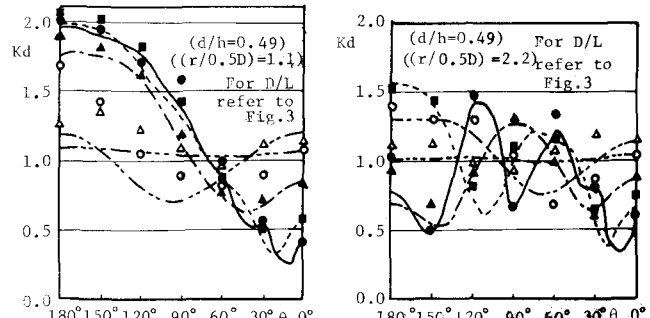


図3-(D) 堤体より遠方の波高比

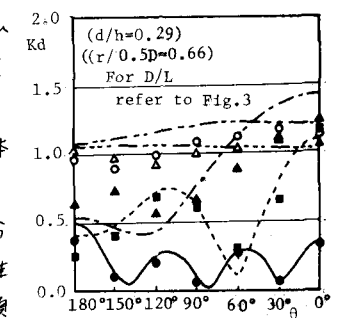


図4 堤体内的波高比

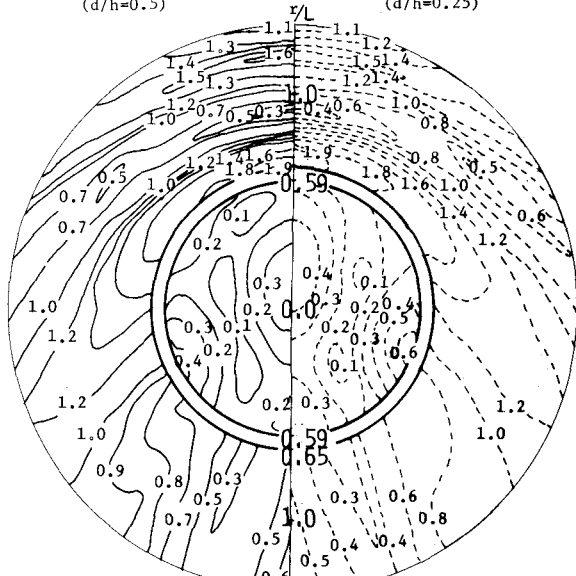
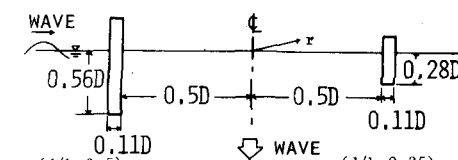


図5 環状物体まわりの波高分布の例